УДК 541.11

ФИЗИЧЕСКАЯ ХИМИЯ

Г. А. ВИНОКУРОВА, В. А. ГЕЙДЕРИХ, член-корреспондент АН СССР Я. И. ГЕРАСИМОВ

ТЕРМОДИНАМИЧЕСКИЕ СВОЙСТВА И ФАЗОВЫЙ СОСТАВ СИСТЕМЫ In — Ni

Диаграмма состояния системы In-Ni, приведенная на рис. 1, взята из справочника (1), но в области $x_{In}=0.25-0.40$ исправлена на основании наших данных. Сведения о типе и параметрах кристаллической решетки промежуточных фаз имеются в (2-10). В работе (4) соединение $InNi_2$ не обнаружено.

Нами изучена температурная зависимость электродвижущих сил (э.д.с.) электрохимических цепей, концентрационных относительно электродов,

типа:

 $\operatorname{In}(\mathcal{H}) \mid (\mathrm{KCl} - \mathrm{LiCl}) + 0.2 \operatorname{InCl} \mid \operatorname{In}_{x} \operatorname{Ni}_{1-x}$ (1)

в интервале 360-670° С.

Заряд иона индия в электролите принят равным 1, согласно (11). Методика эксперимента и способ расчета термодинамических величин описаны в (12 , 13).

Сплавы с содержанием индия от 30 до 40 ат. % легко закаливаются, поэтому образцы готовили растворением навесок Ni в жидком In в эвакуированных кварцевых ампулах при температурах не выше 600° С. Приготовленные сплавы отжигали при 550—600° в течение 2 месяцев. Электродысплавы анализировали после опыта. Определение In проводили комплексонометрическим методом (14); определение Ni — весовым методом с диметилглиоксимом. Составы сплавов после опыта не отличались от исходных составов в пределах 0,3—0,4 ат. % In.

В табл. 1 представлены полученные уравнения E = f(T) и парциальные термодинамические функции In для силавов различной концентрации. Полученная нами зависимость э.д.с. от температуры при $x_{\text{In}} = 0.25 - 0.40$

не согласуется с диаграммой состояния, приведенной в (1).

На рис. 2 графически представлены результаты измерений э.д.с. элементов (1) в зависимости от температуры для сплавов состава 26,6-48,0 ат. % In. Значения э.д.с. при $x_{\rm In}=0,274-0,383$ и $425-540^{\circ}$ С совпадают (прямая AO), следовательно, эти сплавы имеют одинаковый фазовый состав ${\rm InNi}_3+\epsilon'$, что подтверждено рентгенографически. Выше $\sim 540^{\circ}$ значения э.д.с. для составов 26,6-36,2 ат. % In ложатся на прямую OB, а значения э.д.с. для составов 37,3-38,0 ат. % ложатся на прямую OC. Вероятпо, ϵ -фаза эвтектоидно распадается на ${\rm InNi}_3$ и ϵ' -фазу при $\sim 540^{\circ}$. Фаза ${\rm InNi}_2$ стехиометрического состава при $425-610^{\circ}$ не существует.

Прямая AD соответствует значениям э.д.с. элемента (1) с электродами-силавами составов 41,1-48,0 ат.% In (двухфазная область $\varepsilon'+$ InNi).

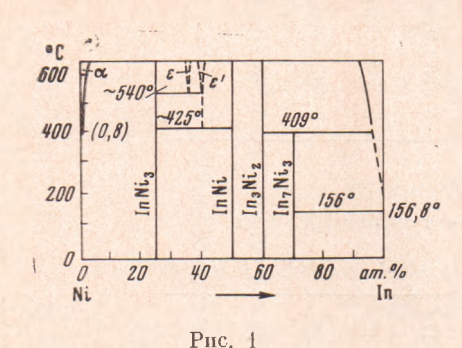
Прямые AO и AD пересекаются в точке A, а ниже \sim 425° значения э.д.с. элемента (1) с электродами-сплавами составов 29,9; 35,0; 41,1; 42,1 и 48,0 ат.% Іп ложатся на прямую FA, следовательно, ε' -фаза, равновесная выше \sim 425°, при t<425° эвтектоидно распадается на смесь фаз InNi₃ и InNi. Приблизительпо при этой же температуре Брандом (15) найдена особенность на зависимости электросопротивления фазы ε' от температуры, интерпретированная им как упорядочение.

С целью уточнения фазового состава сплавов In — Ni при $0.25 < x_{\rm In} < 0.60$ после опытов сняты рентгенограммы двухфазных образцов, содер-

Зависимость э.д.с. от температуры и парциальные величины для In

Таблица 1

Темпера- $--\Delta \overline{H}$ $-\Delta S$ — Δμ (673) $-\Delta \mu (850)$ турный E = f(T), MB x_{In} кал/град г-ат. In ккал/г-ат. In ккал г-ат. In ккал г-ат. Іп интервал, °С $5,76\pm0,75$ 9.917 ± 0.084 8.897 ± 0.077 $E = 598.3 - 0.250 \cdot T \pm 2 (0.97 + 2.67 \cdot 10^{-3} (T - 766.9)^{2})^{1/2}$ $13,80 \pm 0,58$ 0,151; 0,200 384-602 $(\alpha + \ln Ni_3)$ $E = 532,9-0,318 \cdot T + 2(0,18+4,61\cdot10^{-4}(T-670,9)^{2})^{1/2}$ $7,33\pm0,99$ 7.354 ± 0.020 $12,29 \pm 0,66$ 0.299 - 0.480360 - 424(InNi₃ + InNi) $E = 449,9-0,199 \cdot T \pm 2(0,20+1,86 \cdot 10^{-4} (T-755,4)^{2})^{1/2}$ $10,38 \pm 0,48$ 4.59 ± 0.63 0.274 - 0.383424--536 $(InNi_3 + \epsilon')$ $E = 265, 2+0,029 \cdot T + 2(0,40+10,21\cdot10^{-4}(T-841,0)^{2})^{1/2}$ $6,12\pm1,17$ -0.67 ± 1.47 6.685 ± 0.032 0.266 - 0.362(InNi3 + E) $6,476\pm0,031$ $E = 540,9-0,306 \cdot T + 2,1 \cdot (0,41+7,20\cdot 10^{-4} (T-847,6)^{2})^{1/2}$ $12,47\pm1,11$ 7.06 ± 1.30 0.373 - 0.380534 - 610 $(\epsilon + \epsilon')$ 13.00 ± 0.23 $8,33 \pm 0,30$ 5,923+0,023 $E = 563,7-0,361 \cdot T + 2(0,13+0,41\cdot10^{-4}(T-787,0)^{2})^{\frac{1}{2}}$ 0.411 - 0.480426 - 620(ε' - InNi) $3,223 \pm 0,041$ 0.502 - 0.560402-666 $E = 303, 0 - 0,192 \cdot T + 2(0,55 + 1,34 \cdot 10^{-4} (T - 806,3)^{2})^{1/2}$ $6,99 \pm 0,43$ $4,43\pm0,53$ 4.007 ± 0.079 (InNi + In₃Ni₂) 0.150 ± 0.012 3,07+0,38 $E = 133,0-0,188 \cdot T \pm 2(0,01+1,59\cdot10^{-4}(T-654,6)^2)^{1/2}$ 4.34 ± 0.58 0.650 362--398 (InaNi2 + In7Ni3)



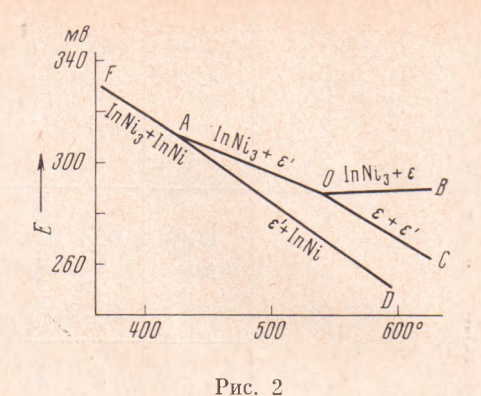


Рис. 1. Диаграмма состояния системы In — Ni с учетом результатов настоящей работы

Рис. 2. Зависимость э.д.с. от температуры в интервале составов 26,6—48,0 ат.% Іп

жащих 26,6; 36,2; 41,1 и 54,2 ат.% In. Съемку проводили в монохроматической камере Гинье с CuK_{α} -пзлучением с Ni-фильтром. Рентгенограмму сплавов с 54,2% In снимали в камере РКД-57.

На рентгенограмме сплава состава 26,6 ат.% Іп имеются структурные линии $InNi_3$ и ε -фазы. Очевидио, образец претерпел закалку от температуры выше $\sim 540^\circ$. Кристаллическая решетка ε -фазы определена нами

как гексагопальная с параметрами a=4,20 и c=5,08 Å.

В (7) приведены значения параметров a=4,18 и c=5,15 Å, которые получены из рентгенограммы образца состава ${\rm In_{0,356}Ni_{0,644}}$ и, по-видимому, относятся к ϵ -фазе. Рентгенограмма образца состава 36,2 ат.% In содержит структурные линии ${\rm InNi_3}$ и ϵ' -фазы. Таким образом, рентгенографические данные о фазовом составе сплавов ${\rm In-Ni}$ хорошо согласуются с результатами измерений э.д.с.

Фаза є' на богатой Ni границе области ее существования является моноклинной, параметры решетки $a=7,32,\ b=4,17,\ c=5,27$ Å $\beta=90,8^\circ$ полу-

чены из рентгенограммы образца 36,2 ат. % Іп.

Параметры решетки ε' -фазы на границе области, богатой In, полученные из рентгенограммы сплава 41,1 ат.% In, таковы: $a=7,37,\ b=4,20,\ c=5,22$ Å, $\beta=90^\circ$.

Наши данные для ε' -фазы близки к данным (8), полученным для образца $\mathrm{In}_{0.40}\mathrm{Ni}_{0.60}$, отожженного при 390°. Согласно (8), кристаллическая решетка ε' -фазы моноклинна с параметрами: $a=7,40,\ b=4,26,\ c=10,46$ Å, $\beta=90,1\pm0,1^\circ$.

В (9) ε' -фазе приписывается структура, родственная Ga_9Ni_{43} . Параметры кристаллической решетки для сплава $In_{0,42}Ni_{0,58}$, закаленного от 850° ,

таковы: a = 14,646, b = 8,329, c = 8,977 Å, $\beta = 35,35^{\circ}$ (9).

Набор межплоскостных расстояний для InNi получен из рентгенограммы сплава состава 41,1 ат.% In, для In_3Ni_2 — из рентгенограммы сплава с 54,2 ат.% In. Данные для $InNi_3$, InNi и In_3Ni_2 совпали с данными (3).

Таким образом, из данных по э.д.с. и реитгенографических данных следует, что в исследованном интервале температур в условиях термодинамического равновесия фаза стехиометрического состава $InNi_2$ не существует, ϵ -фаза при $\sim 540^\circ$ эвтектоидно распадается на $InNi_3$ и ϵ' -фазу, которая в свою очередь эвтектоидно распадается на фазы $InNi_3$ и InNi при $\sim 425^\circ$ С.

Интегральные термодинамические функции образования сплавов In с Ni при 673 и 850° K рассчитаны численным интегрированием по уравне-

нию Гиббса – Дюгема и приведены в табл. 2.

Значения ΔG , ΔH и ΔS образования сплавов, составы которых соответствуют границе α -области, рассчитаны в приближении предельно разбавленных растворов. При расчете интегральных свойств мы пренебрегли су-

Энергия Гиббса, энтальпия и энтропия образования силавов In с Ni из компонентов в стандартном состоянии при 673° и 850° К

x_{In}	Фаза	ΔG , ккал/г-ат	ΔΗ, ккал/г-ат	ΔS, кал/град∙г-ат
Прп 673° К				
0,008 0,250 0,500 0,600 0,700	α (граница) InNi ₃ InNi In ₃ Ni ₂ In ₇ Ni ₃	$ \begin{vmatrix} -0,091\pm0,012\\ -2,486\pm0,022\\ -4,109\pm0,016\\ -4,089\pm0,021\\ -3,104\pm0,017 \end{vmatrix}$	$ \begin{vmatrix} -0.06 \pm 0.05 \\ -3.41 \pm 0.15 \\ -6.37 \pm 0.24 \\ -6.49 \pm 0.11 \\ -5.64 \pm 0.13 \end{vmatrix} $	$\begin{array}{c} 0,04+0,09 \\ -1,37+0,20 \\ -3,36+0,36 \\ -3,57+0,31 \\ -3,76\pm0,22 \end{array}$
При 850° К				
0,019 0,250 0,364 0,390 0,400 0,405 0,500 0,600	α (граница) InNi ₃ ε ε' (~ In ₂ Ni ₃) InNi In ₃ Ni ₂	$\begin{array}{c} -0,200\pm0,034 \\ -2,248\pm0,031 \\ -2,922\pm0,027 \\ -3,068\pm0,026 \\ -3,123\pm0,026 \\ -3,147\pm0,026 \\ -3,589\pm0,022 \\ -3,516\pm0,020 \end{array}$	$\begin{array}{l} -0.15\pm0.11\\ -3.36\pm0.16\\ -3.78\pm0.23\\ -4.14\pm0.22\\ -4.28\pm0.22\\ -4.35\pm0.22\\ -5.73\pm0.20\\ -5.98\pm0.18 \end{array}$	$\begin{array}{c} 0,06 \!\pm\! 0,17 \\ -1,31 \!\pm\! 0,22 \\ -1,01 \!\pm\! 0,29 \\ -1,29 \!\pm\! 0,30 \\ -1,36 \!\pm\! 0,30 \\ -1,42 \!\pm\! 0,30 \\ -2,52 \!\pm\! 0,26 \\ -2,90 \!\pm\! 0,23 \end{array}$

ществованием области гомогенности ε -фазы, а внутри ε' -фазы произвели линейную интерполяцию между значениями парциальных свойств на границах ($x_{\rm In}=0.390$ и $x_{\rm In}=0.405$).

Вывод об отсутствии $InNi_2$, как равновесной фазы, заставляет считать значения интегральных функций для $InNi_2$, приведенные в (12), не имеющими смысла.

Авторы благодарны Л. М. Ковбе за помощь в рентгенографическом исследовании.

Московский государственный университет им. М. В. Ломоносова Поступпло 2 III 1973

ЦИТИРОВАННАЯ ЛИТЕРАТУРА

¹ Supplement of Selected Values of Thermodynamic Properties of Metals and Alloys, Ed. R. Hultgren, N. Y.— London. ² K. J. Best, T. Gödecke, Zs. Metallkunde, 60, № 8, 659 (1969). ³ E. Hellner, Zs. Metallkunde, 41, 401 (1950). ⁴ P. B. Баранова, Кристаллография, 10, в. 1, 32 (1965). ⁵ E. C. Макаров, Изв. АН СССР. ОХН, № 1, 29 (1944). ⁶ E. C. Макаров. Изв. АН СССР. ОХН, № 4, 264 (1943). ⁵ F. Laves, H. J. Wallbaum. Zs. angew. Min., 4, 17 (1941—1942). ⁶ P. Brand, Zs. anorg. u. allgem. Chem., 353, № 5—6, 270 (1967). ⁰ M. Ellner, S. Bhan, K. Schubert, J. Less—Common Metals, 19, № 3, 245 (1969). ¹⁰ P. B. Баранова, З. Г. Пинскер, Кристаллография, 10, в. 5, 614 (1965). ¹¹ П. М. Усов, Л. А. Осадчук, Е. И. Зворыгина, в сборн. Тр. IV Всесоюзн. совещ. по физической химин и электрохимии расплавленных солей и шлаков, ч. 1, Киев, 1969, стр. 125. ¹² Г. А. Винокурова, В. А. Гейдерих, ЖФХ, 44, № 8, 2094 (1970). ¹³ В. А. Гейдерих, А. В. Никольская, И. А. Васильева, в кн. Соединения переменного состава, Л., 1969. ¹⁴ А. Г. Петренко, Л. А. Кузнецова, в кн. Химический анализ цветных и редких металлов, Новосибирск, 1964. ¹⁵ Р. Вганd, Wiss. Z. Martin—Luter—Univ. Halle—Wittenberg Math.-naturwiss. Reihe, 16, № 4, 551 (1967).